

©1995

КОМБИНАЦИОННОЕ РАССЕЯНИЕ СВЕТА В КРИСТАЛЛАХ $Hg_2(Br_xI_{1-x})_2$

Ю.Ф.Марков, А.Ш.Тураев

Донецкий физико-технический институт Академии наук Украины,
340114, Донецк, Украина
(Поступила в Редакцию 30 декабря 1994 г.)

Изучены спектры комбинационного рассеяния смешанных кристаллов $Hg_2(Br_xI_{1-x})_2$. Обнаружено разномодовое поведение различных оптических колебаний. Дано объяснение такого поведения, учитывающее существование в этих кристаллах трех типов ячеек (молекул): Hg_2Br_2 , Hg_2I_2 и Hg_2BrI — и величину дисперсии колебательных ветвей по зоне Бриллюэна.

Кристаллы галогенидов одновалентной ртути Hg_2Hal_2 ($Hal=Cl$, Br , I) при комнатной температуре имеют тетрагональную объемно центрированную решетку D_{4h}^{17} с одной линейной молекулой $Hal-Hg-Hg-Hal$ в примитивной ячейке [1]. Они обладают уникальными физическими свойствами, а именно рекордно высоким двулучепреломлением, рекордно низкой скоростью звука в них и большими значениями акустооптических констант [2]. Кристаллы Hg_2Hal_2 используются в технике в качестве основных элементов поляризаторов, акустических линий задержки, акустооптических фильтров и др.

Большое внимание к этим объектам связано с их «модельностью» при исследовании общих вопросов структурных фазовых переходов. При $T_c = 186$ К (Hg_2Cl_2) и $= 144$ К (Hg_2Br_2) в них были обнаружены и изучены несобственные сегнетоэластические фазовые переходы $D_{4h}^{17} \rightarrow D_{2h}^{17}$, индуцированные конденсацией мягкой ТА-моды с границы зоны Бриллюэна (ЗБ) (X -точка), сопровождаемые удвоением элементарной ячейки, $X \rightarrow \Gamma$ -перебросом в ЗБ и возникновением спонтанной деформации [3]. Фазовый переход в кристаллах Hg_2I_2 удалось реализовать лишь при высоком гидростатическом давлении ($p_c \approx 9$ кбар при $T = 300$ К) [4].

В последние годы значительно возрос интерес к изучению динамики решеток смешанных кристаллов. Кристаллическая система $Hg_2(Cl_xBr_{1-x})_2$ хорошо смешивается во всем диапазоне концентраций $0 \leq x \leq 1$, что позволило вырастить широкий ряд составов этих кристаллов и изучить спектры комбинационного рассеяния (СКР) [5], ИК-спектры [6], обнаружить и изучить сегнетоэластические фазовые

переходы в них [7]. Система $Hg_2(Cl_xI_{1-x})_2$ при комнатной температуре устойчива только в случае малых или больших x ($0 \leq x \leq 0.15$ и $0.85 \leq x \leq 1$) [8]. СКР и фазовые переходы были также изучены в этих кристаллах [9, 10].

В настоящей работе изучены СКР кристаллов $Hg_2(Br_xI_{1-x})_2$, которые образуют непрерывный ряд растворов и хорошо смешиваются во всем диапазоне составов $0 \leq x \leq 1$ [8]. Кристаллы $Hg_2(Br_xI_{1-x})_2$ выращивались из газовой фазы по методике [11]. Состав выращенных кристаллов контролировался с помощью рентгеноструктурного анализа с использованием известного закона Вегарда для этих смешанных систем [8]. Последние измерения показали, что все выращенные кристаллы $Hg_2(Br_xI_{1-x})_2$ однофазны, демонстрируют полное отсутствие рентгеновских рефлексов чистых исходных компонент и имеют тетрагональную кристаллическую решетку, аналогичную чистым галогенидам одновалентной ртути (D_{4h}^{17}).

СКР исследовалась на тройном Раман-спектрометре «DILOR Z-24» с использованием Не-Не-лазера ($\lambda = 6328 \text{ \AA}$) мощностью $\approx 20 \text{ mW}$. Изучаемые образцы $Hg_2(Br_xI_{1-x})_2$ имеют форму параллелепипедов размером $3 \times 3 \times 2 \text{ mm}$ с гранями, параллельными (110) , $(\bar{1}\bar{1}0)$ и (001) . Измерения проводились в поляризованном свете в стоксовой и антистоксовой областях спектра в 90° -геометрии опыта. Точность измерения частоты составляла 0.2 cm^{-1} .

На рис. 1 приведены СКР чистых исходных монокристаллов Hg_2Br_2 и Hg_2I_2 этого твердого раствора. В спектрах наблюдается по две линии в $ZX(YZ)$ - (ν_1, ν_2 ; E_g -симметрия) и в ZZ - (ν_3, ν_4 ; A_{1g} -симметрия) поляризациях, что полностью согласуется с результатами теоретико-

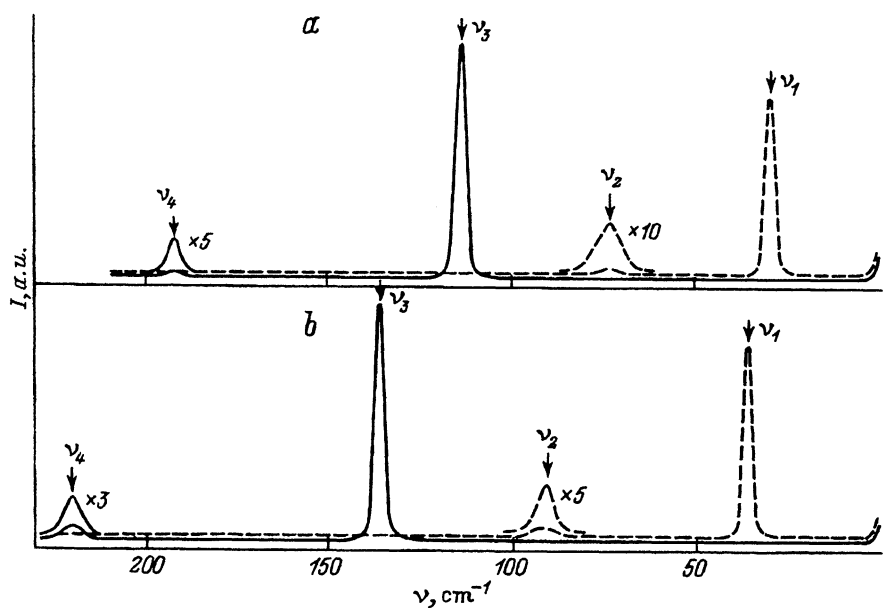


Рис. 1. СКР Hg_2I_2 (a) и Hg_2Br_2 (b) при комнатной температуре. Штриховые линии — $ZX(YZ)$ -поляризация, сплошные — ZZ -поляризация.

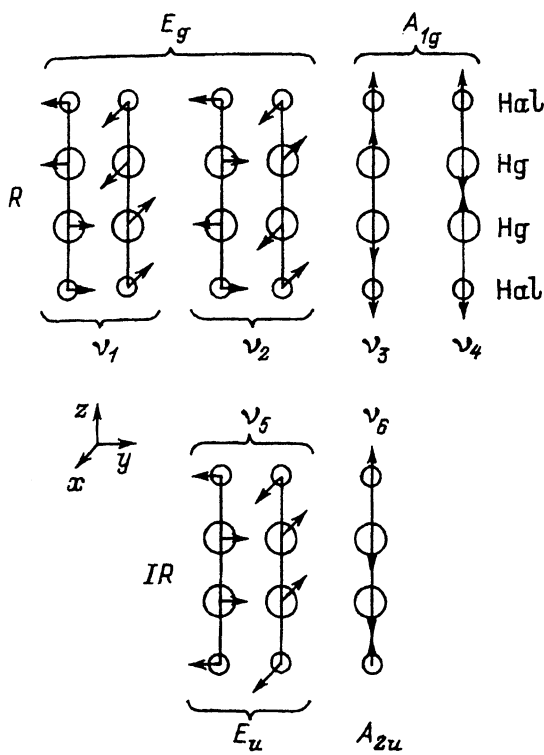


Рис. 2. Собственные векторы колебаний в кристаллах Hg_2Hal_2 .

R — колебания, активные в комбинационном рассеянии, IR — в инфракрасном поглощении (отражении).

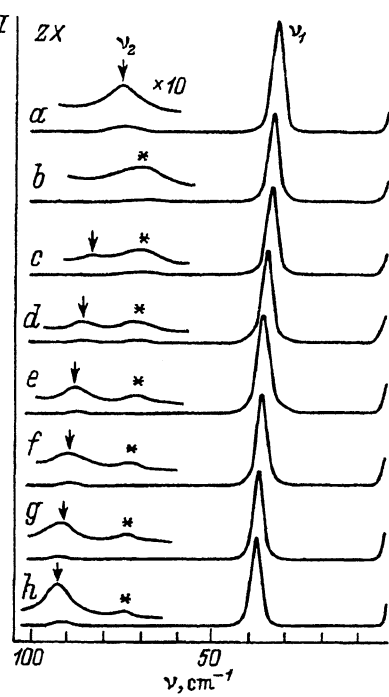


Рис. 3. Низкочастотные СКР смешанных кристаллов $\text{Hg}_2(\text{Br}_x\text{I}_{1-x})_2$ в $ZX(YZ)$ -поляризации.

$a = \text{Hg}_2\text{I}_2$, $h = \text{Hg}_2\text{Br}_2$. Значения x :
 $b = 0.11$, $c = 0.26$, $d = 0.50$, $e = 0.70$,
 $f = 0.82$, $g = 0.88$. Колебания ν_2 всюду на рисунке обозначены стрелкой; звездочка — обертон либрационного колебания ν_1 .

группового рассмотрения, согласно которому в СКР первого порядка кристаллов Hg_2Br_2 , Hg_2I_2 , имеющих при комнатной температуре тетрагональную решетку D_{4h}^{17} и одну формулярную единицу (четырехатомную линейную молекулу $\text{Hal}-\text{Hg}-\text{Hg}-\text{Hal}$) в примитивной ячейке, разрешены четыре колебания: два дважды вырожденных симметрии $E_g(XZ, YZ)$ и два полносимметричных $A_{1g}(XX + YY, ZZ)$ (в скобках указаны компоненты поляризуемости, активные в СКР). На рис. 2 приведены собственные векторы этих колебаний. Колебание симметрии E_g — это либрация, качание линейной молекулы как целого относительно горизонтальной оси X (или Y); обозначим его ν_1 . Второе колебание симметрии E_g — деформационное «зигзагообразное» (ν_2). Полносимметричные валентные колебания A_{1g} соответствуют главным образом смещениям $\text{Hg}-\text{Hg}$ (ν_3) и $\text{Hal}-\text{Hg}$ (ν_4). Следует отметить, что в ИК-спектрах разрешены нечетные колебания симметрии E_u и A_{2u} , отвечающие смещениям подрешетки галогенов относительно подрешетки атомов ртути в базисной плоскости и параллельно оси Z соответственно (рис. 2).

В случае смешанных кристаллов $Hg_2(Br_xI_{1-x})_2$ при комнатной температуре сохраняется, как показали рентгеноструктурные исследования, тетрагональная решетка, аналогичная чистым галогенидам одновалентной ртути. Сохраняется также и ярко выраженная спайность по плоскостям {110}. Правила отбора для колебательных спектров смешанных кристаллов $Hg_2(Br_xI_{1-x})_2$ в предложении хаотического распределения ионов брома и йода по узлам анионной подрешетки должны быть теми же, что и в случае чистых исходных кристаллов.

На рис. 3 приведены низкочастотные СКР в области либрационного $\nu_1(E_g)$ - и деформационного $\nu_2(E_g)$ -колебаний в разрешенных геометриях опыта. Следует отметить, что линия либрационного колебания имеет большую интенсивность и малую полуширину, несмотря на то что это колебание является межмолекулярным. Частота колебания ν_1 плавно зависит от концентрации x , увеличиваясь при переходе от Hg_2I_2 к Hg_2Br_2 ($x \rightarrow 1$). В данном случае имеет место одномодовое поведение, когда в СКР для всех составов $Hg_2(Br_xI_{1-x})_2$ ($0 \leq x \leq 1$) наблюдается только одна линия. В принципе в случае этих смешанных кристаллов могут быть реализованы одно-, двух- и трехмодовое поведения колебаний, так как в этих кристаллических системах возможны три типа молекул (ячеек): чистые Br-Hg-Hg-Br, I-Hg-Hg-I и смешанные Br-Hg-Hg-I, I-Hg-Hg-Br; последние два случая статистически неидентичны и должны учитываться дважды. Однако частоты либрационных колебаний в чистых исходных кристаллах очень близки (31 cm^{-1} в случае кристаллов Hg_2I_2 , 36 cm^{-1} в кристаллах Hg_2Br_2), и, по-видимому, дисперсия этих колебаний по зоне Бриллюэна велика. В результате при легировании исходной матрицы Hg_2Br_2 (Hg_2I_2) примесной компонентой Hg_2I_2 (Hg_2Br_2) частоты примесных щелевых колебаний попадают в область высокой плотности либрационных (а возможно, и акустических) колебательных состояний и «рассасываются». В результате в эксперименте практически проявляются лишь колебания самой исходной матрицы. Итак, реализация одномодового поведения либрационного колебания может быть связана с близостью частот ν_1 в чистых исходных кристаллических компонентах, значительной дисперсией этого колебания по зоне Бриллюэна и высокой плотностью колебательных состояний в этой области частот.

В области деформационного колебания ν_2 в поляризации $ZX(YZ)$ наблюдается одна малоинтенсивная широкая линия, частота, полуширина и интенсивность которой сильно зависят от концентрации x . Причем эта линия значительно уширена и в чистых компонентах (Hg_2Br_2 , Hg_2I_2), что, возможно, связано со значительным ангармонизмом этого колебания. Важно отметить, что в случае чистых компонент полуширина этой линии при охлаждении до гелиевых температур уменьшается в несколько раз, что свидетельствует в пользу вышеупомянутой причины. Здесь, как и в случае колебания ν_1 , имеет место одномодовое поведение, хотя частотный интервал здесь значительно больше ($\nu_2 = 74$ и 91 cm^{-1} в кристаллах Hg_2I_2 и Hg_2Br_2 соответственно). Дисперсия оптической внутримолекулярной колебательной ветви по зоне Бриллюэна должна быть меньше, чем дисперсия межмолекулярного либрационного колебания. Однако, как и в случае колебания ν_1 , реализуется одномодовое поведение деформационного колебания в смешанных кристаллах $Hg_2(Br_xI_{1-x})_2$.

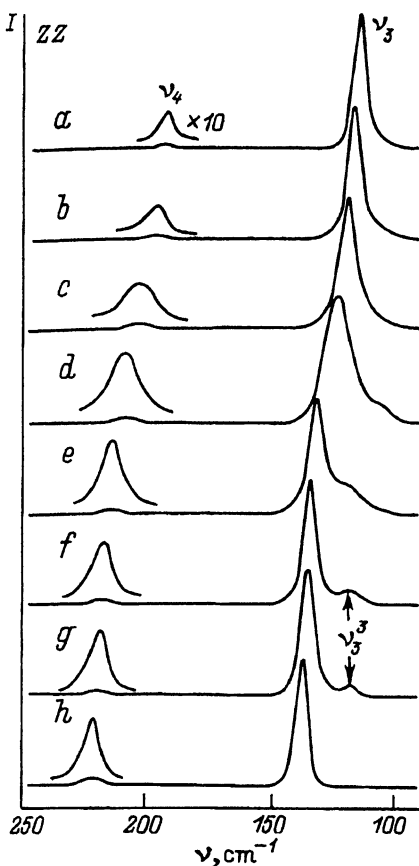


Рис. 4. Высокочастотные СКР кристаллов $\text{Hg}_2(\text{Br}_x\text{I}_{1-x})_2$ в ZZ-поляризации.

Обозначения составов смешанных кристаллов те же, что и на рис. 3.

На рис. 4 приведены СКР в области валентных полносимметрических A_{lg} -колебаний. В случае колебания ν_4 , связанного главным образом со смещением $\text{Hal}-\text{Hg}$ наблюдается сильная концентрационная зависимость частоты и значительное уширение линии этого колебания. Однако реализуется одномодовое поведение. Причины реализации этого поведения, по-видимому, те же, что и в двух предыдущих случаях.

Совсем отдельно стоит случай внутримолекулярного валентного колебания ν_3 , ответственного за смещения $\text{Hg}-\text{Hg}$. Можно видеть, что в области колебания ν_3 в смешанных кристаллах $\text{Hg}_2(\text{Br}_x\text{I}_{1-x})_2$ возникает более широкая полоса, плавно смещающаяся от $\nu \approx 135 \text{ cm}^{-1}$ (Hg_2Br_2) до $\approx 113 \text{ cm}^{-1}$ (Hg_2I_2), причем в средних концентрациях она сильно уширена и, по-видимому, имеет сложную структуру.

При рассмотрении смешанных кристаллов $\text{Hg}_2(\text{Br}_x\text{I}_{1-x})_2$, близких к чистым Hg_2Br_2 , т. е. при x немного меньше единицы (например, $x = 0.88, 0.82$ и 0.70), можно видеть в области ν_3 наряду с интенсивной линией, которая плавно смещается в область низких частот при

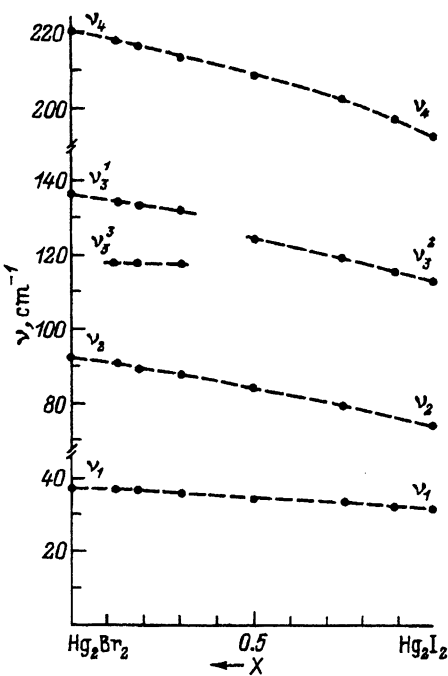


Рис. 5. Концентрационные зависимости частот колебаний в кристаллах $\text{Hg}_2(\text{Br}_x\text{I}_{1-x})_2$.

Точки — эксперимент, штриховые линии — визуализация экспериментальных зависимостей.

уменьшении x и связана с колебаниями Hg-Hg в ячейках (молекулах) Br-Hg-Hg-Br, малоинтенсивный максимум $\nu_3^3 \approx 120 \text{ см}^{-1}$ на крыле этой линии. Интенсивность этого максимума при уменьшении x растет относительно интенсивности линии ν_3 (рис. 4), что и должно иметь место, если этот пик связать с колебаниями Hg-Hg в смешанных молекулах Br-Hg-Hg-I. Если предположить хаотическое распределение атомов галогенов по анионным подрешеткам в $\text{Hg}_2(\text{Br}_x\text{I}_{1-x})_2$, то вероятность образования молекул Hg_2BrI пропорциональна $2x(1-x)$, вероятность образования молекул $\text{Hg}_2\text{Br}_2 \sim x^2$, а молекул $\text{Hg}_2\text{I}_2 \sim (1-x)^2$. Численные значения вероятности образования асимметричных молекул Hg_2BrI равны 0.21 (для случая $x = 0.88$), 0.29 ($x = 0.82$), 0.42 ($x = 0.7$). Эти цифры должны отражать относительные интенсивности этого «бокового» максимума для разных составов кристаллов $\text{Hg}_2(\text{Br}_x\text{I}_{1-x})_2$, что приблизительно и имеет место в эксперименте. Здесь хотелось бы попытаться оценить возможный вклад молекул Hg_2I_2 в области валентного Hg-Hg-колебания ν_3 . Количество этих молекул в $\text{Hg}_2(\text{Br}_x\text{I}_{1-x})_2$ должно быть пропорциональным $(1-x)^2$. В случае $x = 0.88, 0.82$ и 0.7 мы получим следующие вероятности: 0.014, 0.032 и 0.09 соответственно. Если предположить, что силы осцилляторов колебаний ν_3 в смешанных молекулах Hg_2BrI и чистых молекулах Hg_2I_2 близки, то интенсивности соответствующих линий в СКР, ответственных за эти колебания, должны относиться как $0.21 : 0.014 \approx 15$ (для $x = 0.88$), $0.295 : 0.032 \approx 9.3$ ($x = 0.82$) и $0.42 : 0.09 \approx 4.7$ ($x = 0.7$). В первых двух составах интенсивность колебания ν_3 в молекулах (ячейках) Hg_2I_2 должна быть очень маленькой, и увидеть это колебание в спектре маловероятно. Для случая $x = 0.7$ это колебание, по-видимому, проявляется в аномальном крыле в области частот $110 \div 120 \text{ см}^{-1}$.

На рис. 5 приведены концентрационные зависимости частот колебаний в этих кристаллах. Можно видеть одномодовое поведение колебаний ν_1, ν_2, ν_4 , когда колебания исходной матрицы плавно переходят в колебания другой исходной матрицы, т. е. реализуется случай, когда в спектрах наблюдается одна линия для каждого типа колебания. В случае колебания ν_3 реализуется трехмодовое поведение, что, возможно, связано с очень малой дисперсией этого колебания по зоне Брилюэна по сравнению с дисперсией других колебаний [12]. Соответствующие моды обозначены ν_3^1 (случай валентного колебания Hg-Hg в ячейке Hg_2Br_2), ν_3^2 (валентное колебание Hg-Hg в ячейке Hg_2I_2) и ν_3^3 (колебание Hg-Hg в смешанных молекулах (ячейках) Hg_2BrI). В средних концентрациях, где поведение этого колебания сложное и неоднозначное, сделав разрыв штриховых линий, соединяющих экспериментальные точки, подчеркивающий, что колебания, обозначенные ν_3^1 и ν_3^2 , не переходят непосредственно друг в друга. Концентрационная зависимость частоты примесного колебания ν_3^3 еще более сложна, и пока не удается наблюдать ее трансформацию в области средних составов. В дальнейшем необходимы низкотемпературные, вплоть до нескольких градусов Кельвина, спектроскопические исследования этих смешанных кристаллов с целью получения более строгой информации о модовости поведения колебаний и о спектроскопических эффектах фазового перехода в этих кристаллических системах.

В заключение авторы выражают благодарность А.А.Каплянскому за обсуждение результатов настоящей работы.

Список литературы

- [1] Havighurst R.J. J. Am. Chem. Soc. **48**, 2113 (1926).
- [2] Proc. II Int. Symposium on Univalent Mercury Halides. Trutnov (1989). Р. 1-265.
- [3] Барта Ч., Каплянский А.А., Кулаков В.В., Малкин Б.З., Марков Ю.Ф. ЖЭТФ **70**, 4, 1429 (1976).
- [4] Барта Ч., Каплянский А.А., Марков Ю.Ф., Мировицкий В.Ю. ФТТ **27**, 8, 2500 (1985).
- [5] Барта Ч., Добржанский Г.Ф., Зингер Г.М., Лимонов М.Ф., Марков Ю.Ф. ФТТ **24**, 10, 2952 (1982).
- [6] Лимонов М.Ф., Марков Ю.Ф. ФТТ **25**, 1081 (1983).
- [7] Dobrzhanskii G.F., Kaplyanskii A.A., Limonov M.F., Markov Yu.F. Ferroelectrics **48**, 69 (1983).
- [8] Mikler H., Hayer E., Kamarek K.L. Monatsh. Chem. **104**, 5, 1251 (1973).
- [9] Зингер Г.М., Марков Ю.Ф., Шабалин В.В. ФТТ **29**, 12, 3620 (1987).
- [10] Malkin B.Z., Markov Yu.F., Shabalina V.V. Proc. II Int. Symposium on Univalent Mercury Halides. Trutnov (1988). Р. 97-102.
- [11] Витовский Б.В., Добржанский Г.Ф., Нетесов Г.Б., Чернышев К.С. Кристаллография **13**, 3, 569 (1968).
- [12] Каплянский А.А., Лимонов М.Ф., Марков Ю.Ф. Письма в ЖЭТФ **37**, 212 (1983).